

ЦИЛИНДРИЧЕСКИЙ МАГНЕТРОН С НАКЛОНОМ МАГНИТНОГО ПОЛЯ. II

В. В. Дворянкин

Донецк

Изучение цилиндрического магнетрона с полным пространственным зарядом и наклоном магнитного поля в случае толстого катода существенно осложняется тем, что дифференциальное уравнение задачи для плоскости r, φ , перпендикулярной магнитному полю, допускает лишь численное решение.

Однако для данного значения $\frac{r_0}{R}$ на основе численного решения можно получить приближенное аналитическое, аналогичное решению для магнетрона с предельно тонким катодом [1]. Тогда, комбинируя такое решение с соответствующим решением для оси $O\xi$ и переходя к системе координат ρ, θ, z , можно сравнительно просто получить приближенно-аналитическое решение поставленной задачи.

1. РЕШЕНИЕ ДИФФЕРЕНЦИАЛЬНЫХ УРАВНЕНИЙ

1. Определим движение электронов в плоскости r, φ , исходя из дифференциального уравнения

$$r_1 r_1 + \omega_H^2 r_1^2 \left(1 - \frac{1}{r_1^2}\right) = \frac{40\pi e J_p}{m r_0^2 \omega_H} \psi, \quad (1)$$

где

$$r_1 = \frac{r}{r_{0x}};$$
$$\psi = \frac{\omega_H r}{10}; \quad \frac{J_p}{r_0^2} = \frac{J_r}{r_{0x}^2}.$$

Граничные условия $[r_1]_{\psi=0} = 1, [\dot{r}_1]_{\psi=0} = 0$.
Вводя новую переменную

$$z_r = 10 \sqrt{\mu} \psi, \quad (3)$$

где

$$\sqrt{\mu} = \frac{2}{9} \frac{N_1 z_r \theta}{N^2} \left(\frac{R}{r_0}\right)^2 \frac{\left(1 - \frac{r_0^2}{R^2}\right)^2}{\beta^2 \left(\frac{R}{r_0}\right)}, \quad (4)$$

уравнение (1) и граничные условия (2) можно преобразовать к такой форме:

$$Z_r = r_1^2 \left(1 - \frac{1}{r_1^4}\right) + \mu r_1 \frac{d^2 r_1}{dz_r^2}, \quad (5)$$

$$[r_1] z_{r=0} = 1, \quad [r_1] z_{r=0} = 0, \quad (6)$$

численное решение которой для определенных значений параметра может быть получено, например, по методу Адамса-Штермера.

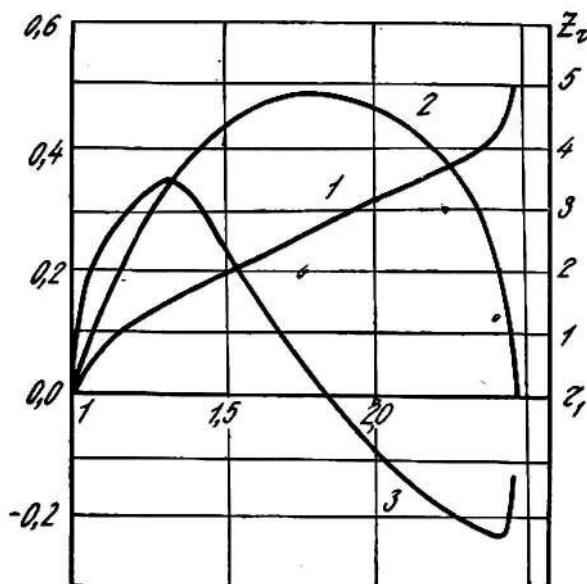


Рис. 1. Решение уравнения (5) для $\mu = 2$ и

$$\frac{r_0}{R} = 0,405;$$

кривая 1, $z_r = f_1(r_1)$;

• 2, $\frac{\Delta r_1}{\Delta z_r} = f_r(r_1)$;

• 3, $\frac{\Delta^2 r_1}{\Delta z_r^2} = f_r(r_1)$.

В частности, для $\mu = 2$ это решение, представленное в виде графика, приведено на рис. 1. При этом расчет ведется до такого значения $r_1 = \frac{R}{r_0}$, при котором радиальная скорость электронов обращается в нуль, что соответствует отсечке анодного тока и, следовательно, $N = 1$. Аналитически это решение удобно представить в таком виде:

$$r_1 = \frac{2}{\sqrt{3}} \cdot 10^{\frac{3}{2}} \sqrt{\mu} \psi^{\frac{3}{2}} \Phi(\psi) L(\psi), \quad (7)$$

где

$$\Phi(r_1) = \left[\beta^{\frac{4}{3}} + 2r_1 \beta^{\frac{1}{3}} \left(\frac{d\beta}{dr_1} \right) \right]^{-\frac{3}{2}} = \Phi(\psi); \quad (8)$$

$$[L(\psi)]_{\psi=0} = 1. \quad (9)$$

Задача, таким образом, сводится к определению по заданным значениям ψ и $r_1(\psi)$ функций $L(\psi)$ и $\Phi(\psi)$. Чтобы выразить функцию $\Phi(r_1)$ через ψ , заметим, что при $\omega_H = 0$

$$r_1 = 4 \left(\frac{\pi e}{3m^2 \omega_x} J_r \right)^{\frac{1}{2}} \Phi(r_1)^{\frac{3}{2}} \tau, \quad (10)$$

$$r \frac{d}{dr} (r\beta^2)^{\frac{2}{3}} = \frac{2}{3} \left(\frac{16\pi e}{3m} J_r \right)^{\frac{1}{3}} \tau. \quad (11)$$

Это выражение совпадает с решением дифференциального уравнения для оси $O\xi$, по которой направлено магнитное поле

$$\ddot{\xi} = \frac{e}{m} \frac{\partial V}{\partial \xi}. \quad (12)$$

Заменяя в уравнении (11) переменную r на переменную ξ и преобразуя его к такому виду:

$$\left(\frac{3}{4} \right)^{\frac{1}{3}} \left(\frac{\xi_1}{\beta} \right)^{\frac{2}{3}} \frac{d(\xi_1 \beta^2)}{d\xi_1} = \left(\frac{4\pi e}{m \xi_0^2} J_\xi \right)^{\frac{1}{3}} \tau = Z_\xi, \quad (13)$$

где положено $\xi_1 = \frac{\xi}{\xi_0}$, уравнение (12) можно записать следующим образом:

$$\xi_1 \frac{d^2 \xi_1}{dZ_\xi^2} = Z_\xi.$$

Решая последнее уравнение численным методом (Адамса-Штермера), получаем функцию $\xi_1 = \xi_1(Z_\xi)$, которая может быть представлена в виде табличных данных или в виде графика — рис. 2 [2].

Если теперь формулу (13) записать таким образом:

$$\left(\frac{\pi e}{3m \xi_0^2} J_\xi \right)^{\frac{1}{2}} \tau^{\frac{3}{2}} = \frac{Z_\xi^2}{2\sqrt{3}},$$

то, подставляя это в выражение

$$\xi_1 = 4 \left(\frac{\pi e}{3m \xi_0^2} J_\xi \right)^{\frac{1}{2}} \Phi(\xi_1) \tau^{\frac{3}{2}},$$

которое получается из (10) при замене r_1 на ξ_1 , находим

$$\xi_1 = \frac{2}{\sqrt{3}} \Phi(Z_\xi) Z_\xi^{\frac{3}{2}},$$

откуда, принимая во внимание кривую на рис. 2, находим $\Phi(Z_\xi)$ для $0 \leq Z_\xi \leq 7$.

Теперь остается лишь выразить Z_ξ через ψ . Это можно сделать, воспользовавшись снова выражением (13). Из этого выражения находим

$$Z_\xi = \left(\frac{4\pi e}{m \xi_0^2} J_\xi \right)^{\frac{1}{3}} \tau = 10 \left(\frac{4\pi e}{m r_0^2 \omega_H^{\frac{2}{3}}} J_p \right)^{\frac{1}{3}} \psi = 10 \left[\frac{2}{9N^3} \left(\frac{R}{r_0} \right)^2 \frac{\left(1 - \frac{r_0^2}{R^2} \right)^3}{\beta^2 \left(\frac{R}{r_0} \right)} \right]^{\frac{1}{3}} \psi, \quad (15)$$

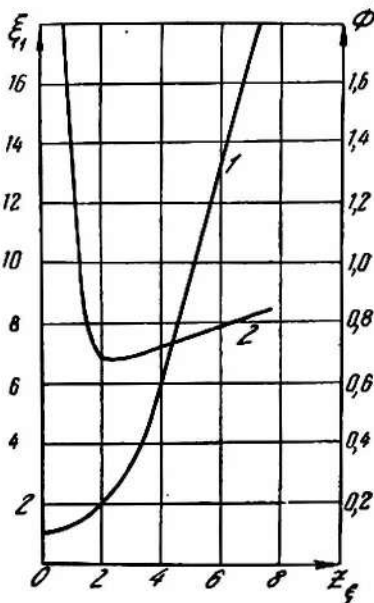


Рис. 2. ξ и Φ как функции z
 кривая 1. $\xi_1 = f(z)$;
 > 2. $\Phi = \varphi(z)$.

или

$$Z_{\xi} = 10 (\sqrt{\mu_{\xi}})^{\frac{1}{3}} \psi.$$

Так как для данных N и $\frac{r_0}{R}$ величина $\sqrt{\mu_{\xi}}$ известна, то по выражению (15) можно рассчитать $Z_{\xi}(\psi)$, а отсюда и функцию $\Phi(\xi)$.

Если $\frac{r_0}{R} = 0,405$ и $N = 1$, то $(\sqrt{\mu_{\xi}})^{\frac{1}{3}} = 1,24884$ и $Z_{\xi} = 12,4884\psi$. Соответствующая этим данным функция $\Phi(\psi)$ приведена на рис. 3. Таким образом, в формуле (7) все величины за исключением $L(\psi)$ оказываются известными и выраженными через ψ .

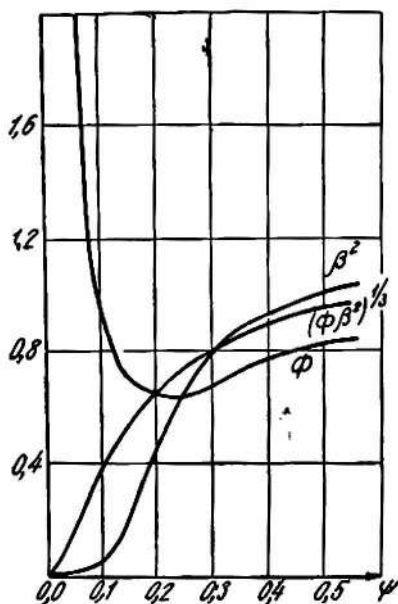


Рис. 3. β^2 , Φ и $(\Phi\beta^2)^{1/3}$ как функции ψ .

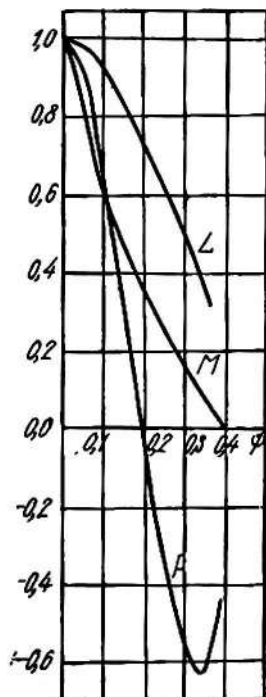


Рис. 4. L , M и P как функции ψ .

$$\left(\mu = 2, \frac{r_0}{R} = 0,405\right).$$

Воспользовавшись тогда кривой $r_1 = r_1(Z_{\xi})$ на рис. 1, можно легко рассчитать функцию $L(\psi)$. График этой функции для $\frac{r_0}{R} = 0,405$ и $\mu = 2$ дан на рис. 4.

2. Продифференцировав формулу (7) по времени, находим составляющие скорости и ускорения электронов в плоскости r, φ

$$\begin{aligned} \dot{r}_1 &= \sqrt{30} \omega_H \sqrt{\mu} (\Phi\beta^2)^{\frac{1}{3}} \psi^{\frac{1}{2}} M(\psi); \\ \ddot{r}_1 &= \sqrt{\frac{3}{4}} \cdot 10^{-\frac{1}{2}} \omega_H^2 \sqrt{\mu} \Phi^{-1}(\psi) \psi^{-\frac{1}{2}} P(\psi), \end{aligned} \quad (16)$$

где

$$[M(\psi)]_{\psi=0} = 1, [P(\psi)]_{\psi=0} = 1. \quad (17)$$

Выражая ξ_1 через радиальный ток в плоскости ρ, θ и дифференцируя полученное выражение по времени, аналогично будем иметь

$$\begin{aligned} \xi_1 &= \frac{2}{\sqrt{3}} \cdot 10^{\frac{3}{2}} \sqrt[4]{\mu} \Phi(\psi) \psi^{\frac{3}{2}}; \\ \dot{\xi}_1 &= \sqrt{30} \omega_H \sqrt[4]{\mu} (\Phi \beta^2)^{\frac{1}{3}} \psi^{\frac{1}{2}}; \end{aligned} \quad (18)$$

$$\ddot{\xi}_1 = \sqrt{\frac{3}{4}} \cdot 10^{-\frac{1}{2}} \omega_H^2 \sqrt[4]{\mu} \Phi^{-1}(\psi) \psi^{-\frac{1}{2}}. \quad (19)$$

3. Учитывая формулы перехода [1], нетрудно теперь написать соответствующие выражения и в системе координат ρ, θ, z :

$$\begin{aligned} \rho \left(1 - \frac{r_0^2}{\rho^2}\right) &= \frac{2}{\sqrt{3}} \cdot 10^{\frac{3}{2}} \sqrt[4]{\mu} r_0 \Phi \psi^{\frac{3}{2}} \left[L \left(1 - \frac{1}{r_1^2}\right) (\cos^2 \theta + \cos^2 \alpha \sin^2 \theta) + \right. \\ &\quad \left. + \left(1 - \frac{1}{\xi_1^2}\right) \sin^2 \alpha \sin^2 \theta \right]; \end{aligned} \quad (20)$$

$$\dot{\rho} = \sqrt{30} \omega_H \sqrt[4]{\mu} r_0 (\Phi \beta^2)^{\frac{1}{3}} \psi^{\frac{1}{2}} [M (\cos^2 \theta + \cos^2 \alpha \sin^2 \theta) + \sin^2 \alpha \sin^2 \theta]; \quad (21)$$

$$\begin{aligned} \rho \dot{\theta} &= \frac{2}{\sqrt{3}} \cdot 10^{\frac{3}{2}} \omega_H \sqrt[4]{\mu} r_0 \Phi \left(1 - \frac{1}{r_1^2}\right) \psi^{\frac{3}{2}} L \cos \alpha - \\ &\quad - \sqrt{30} \omega_H \sqrt[4]{\mu} r_0 (\Phi \beta^2)^{\frac{1}{3}} \psi^{\frac{1}{2}} (M - 1) \sin^2 \alpha \sin \theta \cos \theta. \end{aligned} \quad (22)$$

$$\begin{aligned} \ddot{\rho} - \rho \dot{\theta}^2 &= \sqrt{\frac{3}{4}} \cdot 10^{-\frac{1}{2}} \omega_H^2 \sqrt[4]{\mu} r_0 \Phi^{-1} \psi^{-\frac{1}{2}} [P (\cos^2 \theta + \\ &\quad + \cos^2 \alpha \sin^2 \theta) + \sin^2 \alpha \sin^2 \theta] - \frac{2}{\sqrt{3}} \cdot 10^{\frac{3}{2}} \omega_H^2 \sqrt[4]{\mu} r_0 \Phi \left(1 - \frac{1}{r_1^2}\right)^2 \psi^{\frac{3}{2}} L (\cos \theta + \cos^2 \alpha \sin^2 \theta); \end{aligned} \quad (23)$$

$$\begin{aligned} \dot{z} &= -\frac{2}{\sqrt{3}} \cdot 10^{\frac{3}{2}} \omega_H \sqrt[4]{\mu} r_0 \Phi \left(1 - \frac{1}{r_1^2}\right) \psi^{\frac{3}{2}} L \sin \alpha \cos \theta - \\ &\quad - \frac{\sqrt{30} \omega_H \sqrt[4]{\mu} r_0 (\Phi \beta^2)^{\frac{1}{3}} \psi^{\frac{1}{2}}}{2} (M - 1) \sin^2 \alpha \sin \theta. \end{aligned} \quad (24)$$

Легко можно найти и радиальный градиент потенциала.

$$\begin{aligned} \frac{e}{m} \frac{\partial V}{\partial \rho} &= \sqrt{\frac{3}{4}} \cdot 10^{-\frac{1}{2}} \omega_H^2 \sqrt[4]{\mu} r_0 \Phi^{-\frac{1}{2}} [P (\cos^2 \theta + \cos^2 \alpha \sin^2 \theta) + \\ &\quad + \sin^2 \alpha \sin^2 \theta] + \frac{2}{\sqrt{3}} \cdot 10^{\frac{3}{2}} \omega_H^2 \sqrt[4]{\mu} r_0 \Phi \left(1 - \frac{1}{r_1^2}\right) \psi^{\frac{3}{2}} L (\cos^2 \theta + \cos^2 \alpha \sin^2 \theta). \end{aligned}$$

Нетрудно найти также и угол θ как функцию ψ . В плоскости r, φ мы имеем $d\varphi = 10 \left(1 - \frac{1}{r_1^2}\right) d\psi$. Отсюда $\varphi = 10 \int_0^\psi \left(1 - \frac{1}{r_1^2}\right) d\psi + \varphi_0$. Но, согласно формулам перехода

$$\operatorname{tg} \varphi = \cos \alpha \operatorname{tg} \theta;$$

Тогда
$$\theta = \operatorname{arctg} \left[\frac{1}{\cos \alpha} \operatorname{tg} \left(10 \int_0^\psi \left(1 - \frac{1}{r_1^2}\right) d\psi + \varphi_0 \right) \right]. \quad (26)$$

Нетрудно найти, наконец, и координату Z как функцию ψ :

$$\begin{aligned}
 Z \left(1 + \frac{y_0}{y} \right) &= \sqrt{30} \cdot \sqrt[4]{\mu r_0} (\Phi \beta^2)^{\frac{1}{3}} \psi^{\frac{1}{2}} (M - 1) \sin \alpha \cos \theta - \\
 &- \frac{2}{\sqrt{3}} \cdot 10^{\frac{3}{2}} \sqrt[4]{\mu r_0} \Phi \psi^{\frac{3}{2}} \left[L \left(1 - \frac{1}{r_1^2} \right) - \left(1 - \frac{1}{\xi_1^2} \right) \right] \sin \alpha \times \\
 &\times \cos \alpha \sin \theta + \frac{10e}{m \omega_H^2 y \sin \alpha} \int_0^\psi \frac{\partial V}{\partial \theta} d\psi; \quad (27) \\
 \int_0^\psi \frac{dV}{d\theta} d\psi &= \frac{10m}{e} \omega_H^2 \sin^2 \alpha \sqrt{\mu r_0^2} \int_0^\psi \psi \left[1 - P - \right. \\
 &- \left. \frac{4}{3} \cdot 10^3 \Phi^2 \left(1 - \frac{1}{r_1^2} \right) \psi^2 L \right] \left[L (\cos^2 \theta + \right. \\
 &+ \left. \cos^2 \alpha \sin^2 \theta) + \sin^2 \alpha \sin^2 \theta \right] \sin \theta \cos \theta d\psi.
 \end{aligned}$$

Функции $(\Phi \beta^2)^{\frac{1}{3}}$, M и P для $r_0 = 0,405$ в зависимости от переменной ψ даются на рис. 3 и 4, при этом функции $M(\psi)$ и $P(\psi)$ рассчитаны по кривым рис. 1 и уравнениям (16) при учете равенств

$$\dot{r}_1 = \sqrt{\mu} \omega_H \frac{dr}{dZ};$$

$$\ddot{r}_1 = \mu \omega_H^2 \frac{d^2 r_1}{dZ^2},$$

что дает

$$\begin{aligned}
 M(\psi) &= \frac{\sqrt[4]{\mu} \frac{dr_1}{dZ}}{\sqrt{30} (\Phi \beta^2)^{\frac{1}{3}} \psi^{\frac{1}{2}}} \quad (28) \\
 P(\psi) &= \sqrt{\frac{40}{3} \cdot \mu^{\frac{3}{4}} \Phi \psi^{\frac{1}{2}} \frac{d^2 r_1}{dZ^2}}.
 \end{aligned}$$

Можно убедиться, что выражения (20)—(27) полностью удовлетворяют всем исходным дифференциальным уравнениям и граничным условиям.

2. РАСПРЕДЕЛЕНИЕ ПОТЕНЦИАЛА И ПЛОТНОСТИ ЗАРЯДА

1. Возводя в квадрат выражения (21), (22), (24) и складывая их, можно получить нормализованное параметрическое распределение потенциала по радиальным направлениям плоскости ρ , θ .

$$\begin{aligned}
 \varphi &= 30N^2 \frac{\sqrt{\mu} \frac{r_0^2}{R^2}}{\left(1 - \frac{r_0^2}{R^2} \right)^{\frac{3}{2}}} \psi \left\{ \left[(\Phi \beta^2)^{\frac{2}{3}} M^2 + \frac{400}{9} \Phi^2 \psi^2 L^2 \times \right. \right. \\
 &\times \left. \left. \left(1 - \frac{1}{r_1^2} \right)^2 \right] (\cos^2 \theta + \cos^2 \alpha \sin^2 \theta) + (\Phi \beta^2)^{\frac{2}{3}} \sin^2 \alpha \sin^2 \theta \right\}, \quad (29)
 \end{aligned}$$

где

$$\varphi = \frac{V}{V_a}, \quad \varphi_a = 1.$$

Это наиболее общая форма распределения потенциала. Из него как частный случай может быть получено распределение для магнетрона с предельно тонким катодом или распределение для цилиндрического лэнгмюровского диода и т. д.

В случае магнетрона с предельно тонким катодом следует положить

$$r_0 = 0, \quad \Phi = \beta = 1.$$

В случае же лэнгмюровского диода $N = 0$ в выражении (29) выпадает второй член в квадратных скобках. В результате получается

$$V(\rho) = V_a 30N^2 \frac{V_{\mu}^{-} \frac{r_0^2}{R^2}}{\left(1 - \frac{r_0^2}{R^2}\right)^2} \psi(\Phi\beta^2)^{\frac{2}{3}} = \left(\frac{81m}{2e} \pi^2 J_{\rho}^2\right)^{\frac{1}{3}} (\rho\beta^2)^{\frac{2}{3}},$$

или

$$V(\rho) = V_a \left(\frac{\rho}{R}\right)^{\frac{2}{3}} \left[\frac{\beta \left(\frac{\rho}{r_0}\right)}{\beta \left(\frac{R}{r_0}\right)} \right]^{\frac{4}{3}}.$$

Этот же результат мы находим, как легко заметить, и для

$$\alpha = \frac{\pi}{2}, \quad \theta = \frac{\pi}{2}.$$

Для конкретных расчетов распределения потенциала выражение (29) следует применять совместно с выражением (20). При этом, чтобы найти V_{μ}^{-} , формулы (29) и (20) берем на аноде. В результате получаем два уравнения:

$$1 = 30N^2 \frac{V_{\mu}^{-} \frac{r_0^2}{R^2}}{\left(1 - \frac{r_0^2}{R^2}\right)^2} \psi_a \left\{ \left[(\Phi\beta^2)_a^{\frac{2}{3}} M_a^2 + \frac{400}{9} \Phi_a^2 L_a^2 \left(1 - \frac{1}{r_1^2}\right)_a^2 \psi_a^2 \right] \times \right. \\ \left. (\cos^2 \theta + \cos^2 \alpha \sin^2 \theta) + (\Phi\beta^2)_a^{\frac{2}{3}} \sin^2 \alpha \sin^2 \theta \right\}; \quad (30)$$

$$1 = \frac{2}{V^{\frac{3}{2}}} \cdot 10^{\frac{3}{2}} \frac{V_{\mu}^{-} \frac{r_0}{R}}{\left(1 - \frac{r_0^2}{R^2}\right)} \Phi_a \psi_a^{\frac{3}{2}} \left[L_a \left(1 - \frac{1}{r_1^2}\right)_a (\cos^2 \theta + \cos^2 \alpha \sin^2 \theta) + \right. \\ \left. + \left(1 - \frac{1}{\xi_1^2}\right)_a \sin^2 \alpha \sin^2 \theta \right],$$

из которых при данных N , α , θ находим соответствующие ψ_a и V_{μ}^{-} . В частности, для магнетрона с $\frac{r_0}{R} = 0,405$ при $N = 1$, $\alpha = 20^\circ$ и $\theta_0 = \frac{\pi^*}{2}$ имеем $\psi_a = 0,25$, $V_{\mu}^{-} = 1,579$, $\delta(1) = 0,814^{**}$.

Если же $\theta_0 = \frac{\pi}{4}$, то $\psi_a = 0,29$, $V_{\mu}^{-} = 1,44$, $\delta(1) = 0,743$. Распределение потенциала для $\theta_0 = 0$ и $\theta_0 = \frac{\pi}{2}$, рассчитанное указанным образом, приведено на рис. 5.

* θ_0 — угол эмиссии электронов.

** В магнетроне без наклона магнитного поля $\delta(1) = 0,73$.

Рис. 6 дает представление об электронных траекториях при $\alpha = 20^\circ$ и $N = 1$. Как видно из рисунка, траектории расположены в пространстве и зависят от угла эмиссии. Для указанных углов эмиссии электроны попадают на анод (для весьма длинных электродов); координаты их попадания сильно изменяются при изменении угла эмиссии. Так, при $\theta_0 = 0$ и $\theta_0 = \frac{\pi}{2}$ электроны направляются в сторону положительной полуоси Oz , при $\theta_0 = \pi$ и $\theta_0 = \frac{3\pi}{2}$ в сторону отрицательной полуоси.

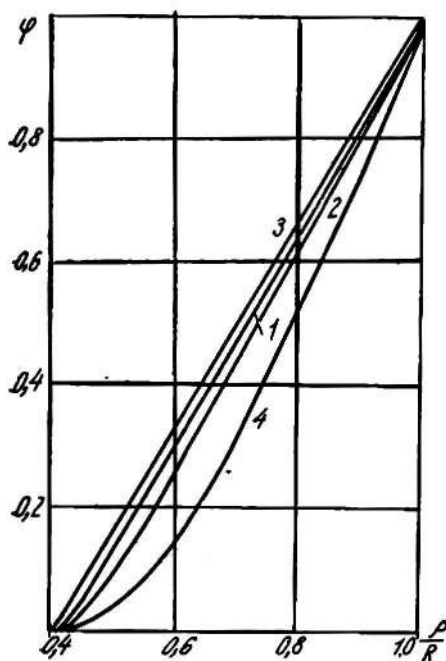


Рис. 5. Радиальное распределение потенциала:

- кривая 1, $\theta = \frac{\pi}{2}$
 > 2, $\theta = 0^\circ$,
 > 3, лэнгмюровская,
 > 4, бриллюеновская,
 $\alpha = 20^\circ$, $N = 1$.

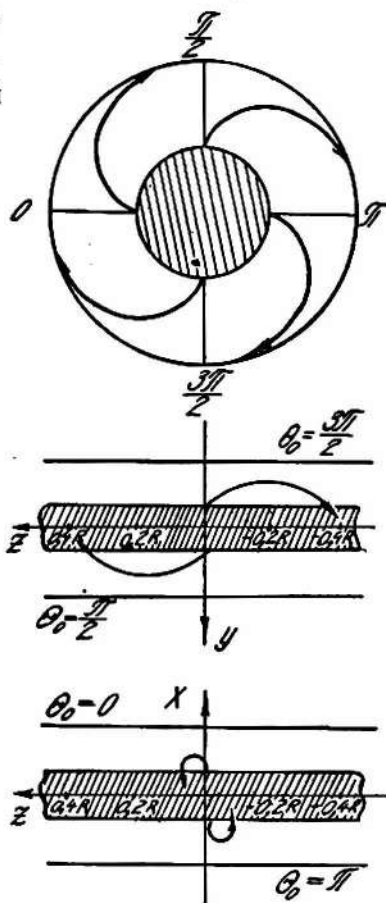


Рис. 6. Траектории электронов ($N = 1$, $\alpha = 20^\circ$)

Координата z_a в первых двух случаях соответственно $Z_a = 0,10R$ и $Z_a = 0,381R$. Во всех случаях электроны не поворачивают обратно к катоду и, таким образом, их траектории петель не образуют.

Однако, как видно из уравнения (21), а также из рис. 4 и 6, имеются две группы электронов, теряющих свою радиальную скорость в точках пересечения полуосей $\pm OX$ с анодом. В этих точках радиальное ускорение электронов становится отрицательным и, следовательно, электроны не попадают на анод, а, описывая сложные траектории (петлеобразные), возвращаются к катоду, вызывая его нагревание в результате бомбардировки. Подобные группы электронов имеются при всех значе-

ниях r_0/R , т. е. в интервале $0 \leq \frac{r_0}{R} \leq 1$. Теоретически они имеются и при всех углах наклона, в том числе и при $\alpha = \frac{\pi}{2}$.

2. Радиальное распределение плотности заряда в электронном облаке можно получить из соотношения $J_p = \rho \rho_0 r$, если в него подставить выражения (20) и (21). В результате получаем

$$\rho_0 = \frac{N^2 \frac{V_a \left(1 - \frac{r_0^2}{R^2}\right)}{400\pi R^2 \left(1 - \frac{r_0^2}{R^2}\right)}}{\Phi (\Phi \beta^2)^{\frac{1}{3}} \psi^2 \rho_1 \rho_1} \quad (31)$$

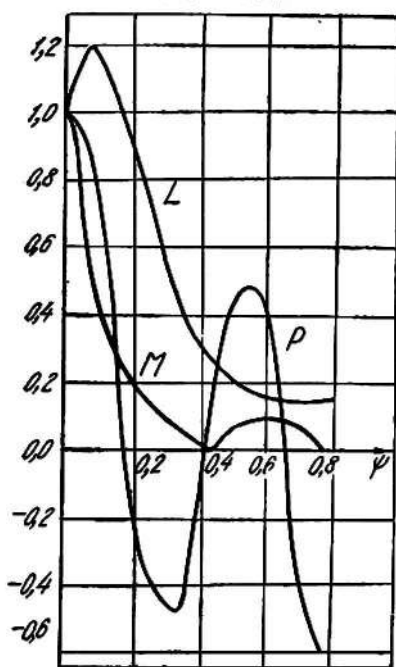


Рис. 7. L , M и P как функции ψ
($\mu = 0,5$, $\frac{r_0}{R} = 0,405$).

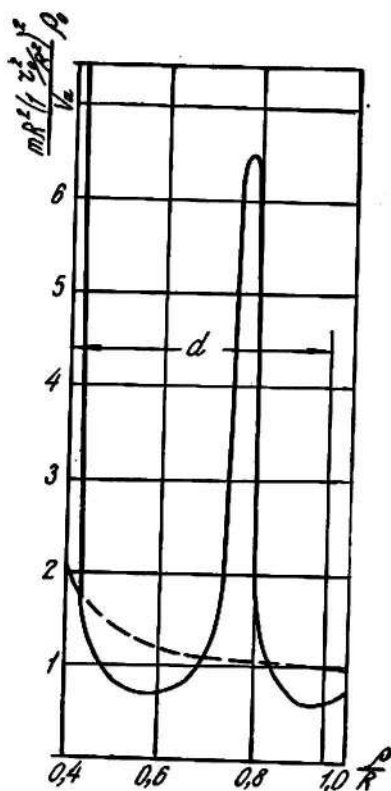


Рис. 8. Радиальное распределение плотности заряда:

$$\alpha = 4^\circ; N = 1,031; \theta = \frac{\pi}{2};$$

$$\frac{r_0}{R} = 0,405; d - \text{брюллоновский радиус отсечки.}$$

Пунктирная кривая — брюллоновская.

где

$$\rho_1 = L \left(1 - \frac{1}{r_1^2}\right) (\cos^2 \theta + \cos^2 \alpha \sin^2 \theta) + \left(1 - \frac{1}{\xi_1^2}\right) \sin^2 \alpha \sin^2 \theta; \quad (32)$$

$$\rho_1 = M (\cos^2 \theta + \cos^2 \alpha \sin^2 \theta) + \sin^2 \alpha \sin^2 \theta.$$

Как отмечено выше, для конкретных расчетов выражение (31) следует применять совместно с выражением (20). Если предполагается $\frac{r_0}{R} = 0,405$ и $N = 1$, то для расчета ρ_0 по формуле (31) следует воспользоваться кри-

выми для $L(\psi)$ и $M(\psi)$, приведенными на рис. 4. В этом случае $\mu = 2$ и $\delta(1) = 0,73$.

Интересно, однако, рассчитать распределение плотности заряда для некоторого N , соответствующего области крутого падения статической вольт-амперной характеристики. В частности, для $\mu = 0,5$ кривые $L(\psi)$, $M(\psi)$ и $P(\psi)$ при $\frac{r_0}{R} = 0,405$ приведены на рис. 7. Расчет производится следующим образом. Решая уравнение (5) при $\mu = 0,5$, получаем кривые, аналогичные изображенным на рис. 1. Воспользовавшись этими кривыми, а также выражениями (7) и (28), находим $L(\psi)$, $M(\psi)$, $P(\psi)$. Теперь по уравнениям (30) для заданных значений ψ_a , α и θ можно найти соответствующие $\sqrt{\mu}$ и N . Подставляя, наконец, N и $\sqrt{\mu}$ в (31) и принимая во внимание выражение (20), получаем радиальное распределение плотности заряда. На рис. 8 показано это распределение, рассчитанное указанным образом.

Плотность заряда имеет максимум между электродами и на аноде же равна нулю, хотя бриллюеновский радиус отсечки находится перед анодом. Это говорит о том, что при наклоне магнитного поля электронное облако распространяется вплоть до анода, в результате чего анодный ток оказывается не равным нулю (ток утечки), возрастая с ростом угла наклона.

ЛИТЕРАТУРА

1. В. В. Дворянкин. См. статью настоящего сборника.
2. Г. А. Гринберг. Избранные вопросы математической теории электрических и магнитных явлений. Изд-во АН СССР. М.—Л., 1948.